Eingabe: Farbmetrisches Fernseh-Licht-System TLS00

für Buntton *h* = lab*h = 40/360 = 0.111*
*lab*tch* und *lab*nch*

D65: Buntton O
LCH*Ma: 51 100 40
olv*Ma: 1.0 0.0 0.0

Dreiecks-Helligkeit *t**

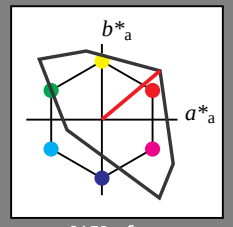

%Umfang

u*rel = 158

TLS00; adaptierte CIELAB-Daten

	L*=L*a	a*a	b*a	C*ab,a	h*ab,a
O_{Ma}	50.5	76.92	64.55	100.42	40
Y_{Ma}	92.66	−20.69	90.75	93.08	103
L_{Ma}	83.63	−82.75	79.9	115.04	136
C_{Ma}	86.88	−46.16	−13.55	48.12	196
V_{Ma}	30.39	76.06	−103.59	128.52	306
M_{Ma}	57.3	94.35	−58.41	110.97	328
N_{Ma}	0.01	0.0	0.0	0.0	0
W_{Ma}	95.41	0.0	0.0	0.0	0
R_{CIE}	39.92	58.74	27.99	65.07	25
J_{CIE}	81.26	−2.88	71.56	71.62	92
G_{CIE}	52.23	−42.41	13.6	44.55	162
B_{CIE}	30.57	1.41	−46.46	46.49	272

%Regularität

g*H,rel = 20

g*C,rel = 37

Ausgabe: Farbmetrisches Offset-Reflektiv-System ORS18

für Buntton *h* = lab*h = 38/360 = 0.105*
*lab*tch* und *lab*nch*

D65: Buntton O
LCH*Ma: 48 83 38
olv*Ma: 1.0 0.0 0.0

Dreiecks-Helligkeit *t**

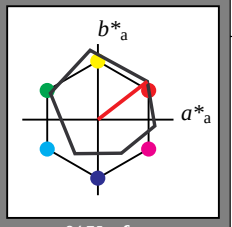

%Umfang

u*rel = 93

ORS18; adaptierte CIELAB-Daten

	L*=L*a	a*a	b*a	C*ab,a	h*ab,a
O_{Ma}	47.94	65.39	50.52	82.63	38
Y_{Ma}	90.37	−10.26	91.75	92.32	96
L_{Ma}	50.9	−62.83	34.96	71.91	151
C_{Ma}	58.62	−30.34	−45.01	54.3	236
V_{Ma}	25.72	31.1	−44.4	54.22	305
M_{Ma}	48.13	75.28	−8.36	75.74	354
N_{Ma}	18.01	0.0	0.0	0.0	0
W_{Ma}	95.41	0.0	0.0	0.0	0
R_{CIE}	39.92	58.66	26.98	64.57	25
J_{CIE}	81.26	−2.16	67.76	67.79	92
G_{CIE}	52.23	−42.25	11.76	43.87	164
B_{CIE}	30.57	1.15	−46.84	46.86	271

%Regularität

g*H,rel = 57

g*C,rel = 59

1,00
0,75
0,50
0,25
0,00
n* = 0,00
n* = 0,25
n* = 0,50
n* = 1,0
Schwarzheit *n**
0,25
0,50
0,75
1,00
relative Buntheit *c**

OG550−7, 5 stufige Reihen für konstanten CIELAB Buntton 40/360 = 0.111 (links)

5 stufige Reihen für konstanten CIELAB Buntton 38/360 = 0.105 (rechts)

Eingabe: Farbmetrisches Fernseh-Licht-System TLS00

für Buntton $h^* = lab^*h = 103/360 = 0.286$ *lab*tch* und *lab*nch*

D65: Buntton Y
LCH*Ma: 93 93 103
olv*Ma: 1.0 1.0 0.0

Dreiecks-Helligkeit *t**

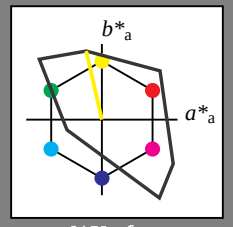

%Umfang

u^*_{rel} = 158

%Regularität

$g^*_{H,rel}$ = 20

$g^*_{C,rel}$ = 37

TLS00; adaptierte CIELAB-Daten

	$L^*=L^*_a$	a^*_a	b^*_a	$C^*_{ab,a}$	$h^*_{ab,a}$
O_{Ma}	50.5	76.92	64.55	100.42	40
Y_{Ma}	92.66	−20.69	90.75	93.08	103
L_{Ma}	83.63	−82.75	79.9	115.04	136
C_{Ma}	86.88	−46.16	−13.55	48.12	196
V_{Ma}	30.39	76.06	−103.59	128.52	306
M_{Ma}	57.3	94.35	−58.41	110.97	328
N_{Ma}	0.01	0.0	0.0	0.0	0
W_{Ma}	95.41	0.0	0.0	0.0	0
R_{CIE}	39.92	58.74	27.99	65.07	25
J_{CIE}	81.26	−2.88	71.56	71.62	92
G_{CIE}	52.23	−42.41	13.6	44.55	162
B_{CIE}	30.57	1.41	−46.46	46.49	272

Ausgabe: Farbmetrisches Offset-Reflektiv-System ORS18

für Buntton $h^* = lab^*h = 96/360 = 0.268$ *lab*tch* und *lab*nch*

D65: Buntton Y
LCH*Ma: 90 92 96
olv*Ma: 1.0 1.0 0.0

Dreiecks-Helligkeit *t**

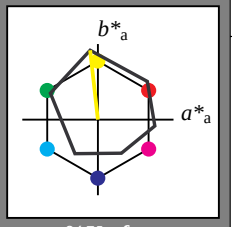

%Umfang

u^*_{rel} = 93

%Regularität

$g^*_{H,rel}$ = 57

$g^*_{C,rel}$ = 59

ORS18; adaptierte CIELAB-Daten

	$L^*=L^*_a$	a^*_a	b^*_a	$C^*_{ab,a}$	$h^*_{ab,a}$
O_{Ma}	47.94	65.39	50.52	82.63	38
Y_{Ma}	90.37	−10.26	91.75	92.32	96
L_{Ma}	50.9	−62.83	34.96	71.91	151
C_{Ma}	58.62	−30.34	−45.01	54.3	236
V_{Ma}	25.72	31.1	−44.4	54.22	305
M_{Ma}	48.13	75.28	−8.36	75.74	354
N_{Ma}	18.01	0.0	0.0	0.0	0
W_{Ma}	95.41	0.0	0.0	0.0	0
R_{CIE}	39.92	58.66	26.98	64.57	25
J_{CIE}	81.26	−2.16	67.76	67.79	92
G_{CIE}	52.23	−42.25	11.76	43.87	164
B_{CIE}	30.57	1.15	−46.84	46.86	271

1,00
0,75
0,25
0,00
0,25 0,50 0,75 1,00

Schwarzheit *n**

$n^* = 0{,}00$ $n^* = 0{,}25$ $n^* = 0{,}50$ $n^* = 1{,}0$

relative Buntheit *c**

OG550−7, 5 stufige Reihen für konstanten CIELAB Buntton 103/360 = 0.286 (links)

5 stufige Reihen für konstanten CIELAB Buntton 96/360 = 0.268 (rechts)

BAM-Prüfvorlage OG55; Farbmetrik-Systeme ORS18 & ORS18
D65: 2 Koordinatendaten von 5stufigen Farbreihen für 10 Buntt öne

input: *cmy0* setcmykcolor*
output: *Startup (S) data dependend*

Eingabe: Farbmetrisches Fernseh-Licht-System TLS00

für Buntton *h* = lab*h = 136/360 = 0.378*
*lab*tch* und *lab*nch*

D65: Buntton L
LCH*Ma: 84 115 136
olv*Ma: 0.0 1.0 0.0

Dreiecks-Helligkeit *t**

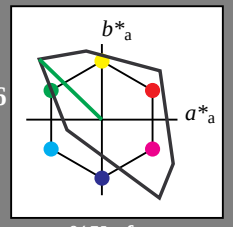

%Umfang

u*$_{rel}$ = 158

TLS00; adaptierte CIELAB-Daten

	L*=L*$_a$	a*$_a$	b*$_a$	C*$_{ab,a}$	h*$_{ab,a}$
O$_{Ma}$	50.5	76.92	64.55	100.42	40
Y$_{Ma}$	92.66	−20.69	90.75	93.08	103
L$_{Ma}$	83.63	−82.75	79.9	115.04	136
C$_{Ma}$	86.88	−46.16	−13.55	48.12	196
V$_{Ma}$	30.39	76.06	−103.59	128.52	306
M$_{Ma}$	57.3	94.35	−58.41	110.97	328
N$_{Ma}$	0.01	0.0	0.0	0.0	0
W$_{Ma}$	95.41	0.0	0.0	0.0	0
R$_{CIE}$	39.92	58.74	27.99	65.07	25
J$_{CIE}$	81.26	−2.88	71.56	71.62	92
G$_{CIE}$	52.23	−42.41	13.6	44.55	162
B$_{CIE}$	30.57	1.41	−46.46	46.49	272

%Regularität

g*$_{H,rel}$ = 20

g*$_{C,rel}$ = 37

Ausgabe: Farbmetrisches Offset-Reflektiv-System ORS18

für Buntton *h* = lab*h = 151/360 = 0.419*
*lab*tch* und *lab*nch*

D65: Buntton L
LCH*Ma: 51 72 151
olv*Ma: 0.0 1.0 0.0

Dreiecks-Helligkeit *t**

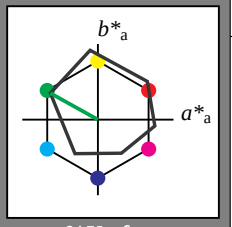

%Umfang

u*$_{rel}$ = 93

ORS18; adaptierte CIELAB-Daten

	L*=L*$_a$	a*$_a$	b*$_a$	C*$_{ab,a}$	h*$_{ab,a}$
O$_{Ma}$	47.94	65.39	50.52	82.63	38
Y$_{Ma}$	90.37	−10.26	91.75	92.32	96
L$_{Ma}$	50.9	−62.83	34.96	71.91	151
C$_{Ma}$	58.62	−30.34	−45.01	54.3	236
V$_{Ma}$	25.72	31.1	−44.4	54.22	305
M$_{Ma}$	48.13	75.28	−8.36	75.74	354
N$_{Ma}$	18.01	0.0	0.0	0.0	0
W$_{Ma}$	95.41	0.0	0.0	0.0	0
R$_{CIE}$	39.92	58.66	26.98	64.57	25
J$_{CIE}$	81.26	−2.16	67.76	67.79	92
G$_{CIE}$	52.23	−42.25	11.76	43.87	164
B$_{CIE}$	30.57	1.15	−46.84	46.86	271

%Regularität

g*$_{H,rel}$ = 57

g*$_{C,rel}$ = 59

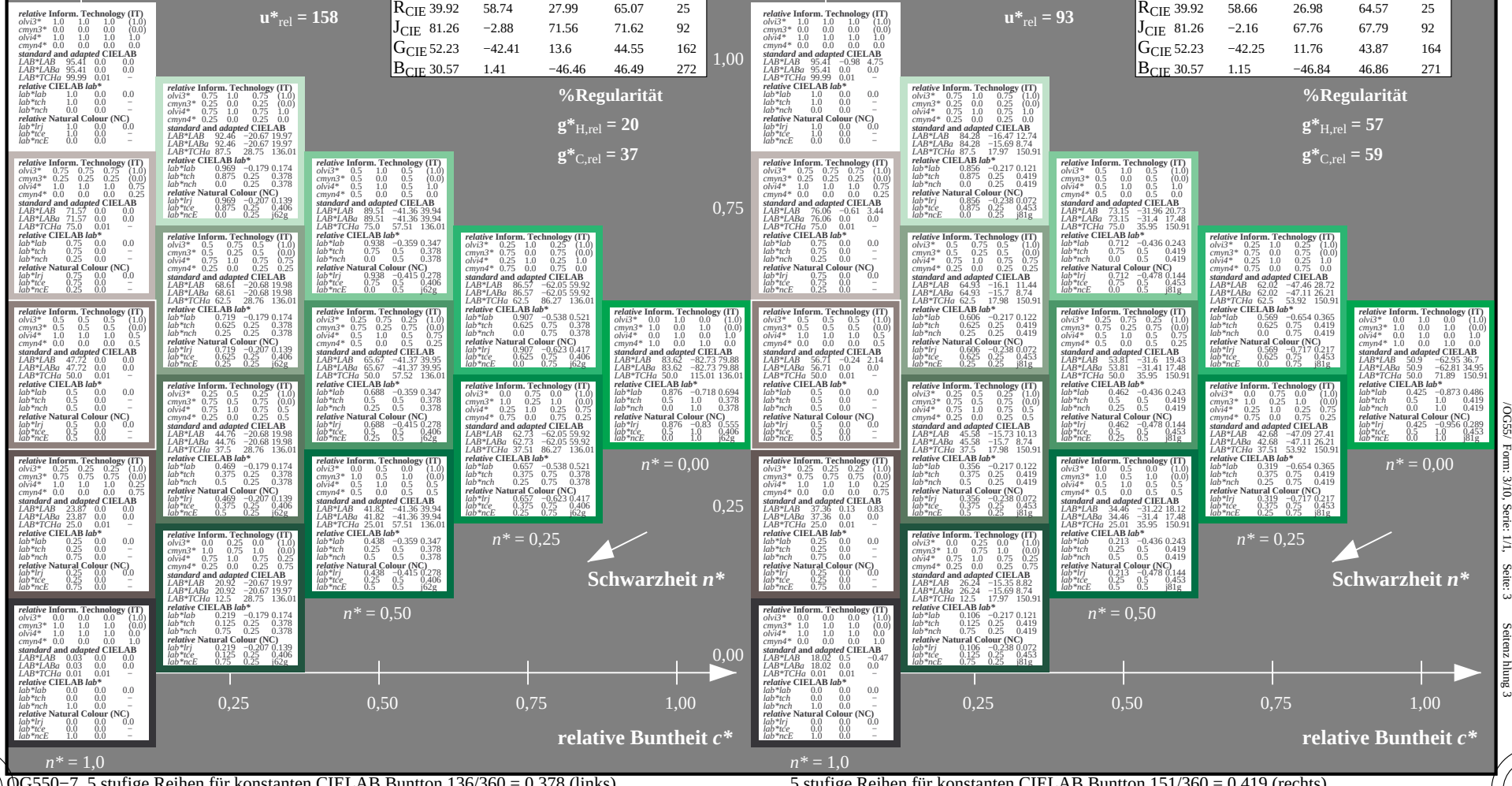

OG550−7, 5 stufige Reihen für konstanten CIELAB Buntton 136/360 = 0.378 (links)

5 stufige Reihen für konstanten CIELAB Buntton 151/360 = 0.419 (rechts)

Eingabe: Farbmetrisches Fernseh-Licht-System TLS00

für Buntton *h* = lab*h = 196/360 = 0.545*
*lab*tch* und *lab*nch*

D65: Buntton C
LCH*Ma: 87 48 196
olv*Ma: 0.0 1.0 1.0

Dreiecks-Helligkeit *t**

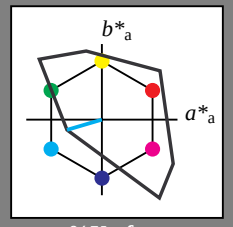

%Umfang
u*rel = 158

TLS00; adaptierte CIELAB-Daten

	L*=L*a	a*a	b*a	C*ab,a	h*ab,a
OMa	50.5	76.92	64.55	100.42	40
YMa	92.66	−20.69	90.75	93.08	103
LMa	83.63	−82.75	79.9	115.04	136
CMa	86.88	−46.16	−13.55	48.12	196
VMa	30.39	76.06	−103.59	128.52	306
MMa	57.3	94.35	−58.41	110.97	328
NMa	0.01	0.0	0.0	0.0	0
WMa	95.41	0.0	0.0	0.0	0
RCIE	39.92	58.74	27.99	65.07	25
JCIE	81.26	−2.88	71.56	71.62	92
GCIE	52.23	−42.41	13.6	44.55	162
BCIE	30.57	1.41	−46.46	46.49	272

1,00
%Regularität
g*H,rel = 20
g*C,rel = 37
0,75
0,25
0,00
n* = 0,00
n* = 0,25
n* = 0,50
n* = 1,0
Schwarzheit *n**
0,25 0,50 0,75 1,00
relative Buntheit *c**

Ausgabe: Farbmetrisches Offset-Reflektiv-System ORS18

für Buntton *h* = lab*h = 236/360 = 0.656*
*lab*tch* und *lab*nch*

D65: Buntton C
LCH*Ma: 59 54 236
olv*Ma: 0.0 1.0 1.0

Dreiecks-Helligkeit *t**

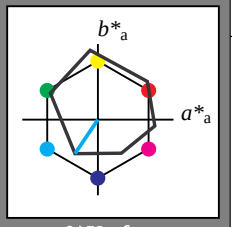

%Umfang
u*rel = 93

ORS18; adaptierte CIELAB-Daten

	L*=L*a	a*a	b*a	C*ab,a	h*ab,a
OMa	47.94	65.39	50.52	82.63	38
YMa	90.37	−10.26	91.75	92.32	96
LMa	50.9	−62.83	34.96	71.91	151
CMa	58.62	−30.34	−45.01	54.3	236
VMa	25.72	31.1	−44.4	54.22	305
MMa	48.13	75.28	−8.36	75.74	354
NMa	18.01	0.0	0.0	0.0	0
WMa	95.41	0.0	0.0	0.0	0
RCIE	39.92	58.66	26.98	64.57	25
JCIE	81.26	−2.16	67.76	67.79	92
GCIE	52.23	−42.25	11.76	43.87	164
BCIE	30.57	1.15	−46.84	46.86	271

%Regularität
g*H,rel = 57
g*C,rel = 59
n* = 0,00
n* = 0,25
n* = 0,50
n* = 1,0
Schwarzheit *n**
0,25 0,50 0,75 1,00
relative Buntheit *c**

OG550−7, 5 stufige Reihen für konstanten CIELAB Buntton 196/360 = 0.545 (links)
5 stufige Reihen für konstanten CIELAB Buntton 236/360 = 0.656 (rechts)

BAM-Prüfvorlage OG55; Farbmetrik-Systeme ORS18 & ORS18 input: *cmy0* setcmykcolor*
D65: 2 Koordinatendaten von 5stufigen Farbreihen für 10 Buntt output: *Startup (S) data dependend*

Eingabe: Farbmetrisches Fernseh-Licht-System TLS00

für Buntton *h* = lab*h = 306/360 = 0.851*
*lab*tch* und *lab*nch*

D65: Buntton V
LCH*Ma: 30 129 306
olv*Ma: 0.0 0.0 1.0

Dreiecks-Helligkeit *t**

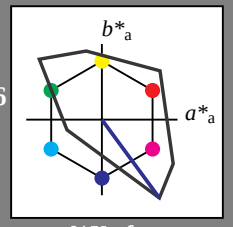

%Umfang

u*rel = 158

%Regularität

g*H,rel = 20

g*C,rel = 37

TLS00; adaptierte CIELAB-Daten

	L*=L*a	a*a	b*a	C*ab,a	h*ab,a
OMa	50.5	76.92	64.55	100.42	40
YMa	92.66	−20.69	90.75	93.08	103
LMa	83.63	−82.75	79.9	115.04	136
CMa	86.88	−46.16	−13.55	48.12	196
VMa	30.39	76.06	−103.59	128.52	306
MMa	57.3	94.35	−58.41	110.97	328
NMa	0.01	0.0	0.0	0.0	0
WMa	95.41	0.0	0.0	0.0	0
RCIE	39.92	58.74	27.99	65.07	25
JCIE	81.26	−2.88	71.56	71.62	92
GCIE	52.23	−42.41	13.6	44.55	162
BCIE	30.57	1.41	−46.46	46.49	272

1,00
0,75
0,50
0,25
0,00

n* = 0,00
n* = 0,25
n* = 0,50
n* = 1,0

Schwarzheit *n**

0,25 0,50 0,75 1,00

relative Buntheit *c**

Ausgabe: Farbmetrisches Offset-Reflektiv-System ORS18

für Buntton *h* = lab*h = 305/360 = 0.847*
*lab*tch* und *lab*nch*

D65: Buntton V
LCH*Ma: 26 54 305
olv*Ma: 0.0 0.0 1.0

Dreiecks-Helligkeit *t**

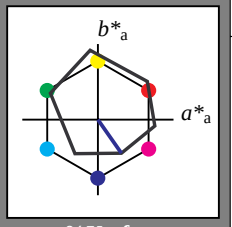

%Umfang

u*rel = 93

%Regularität

g*H,rel = 57

g*C,rel = 59

ORS18; adaptierte CIELAB-Daten

	L*=L*a	a*a	b*a	C*ab,a	h*ab,a
OMa	47.94	65.39	50.52	82.63	38
YMa	90.37	−10.26	91.75	92.32	96
LMa	50.9	−62.83	34.96	71.91	151
CMa	58.62	−30.34	−45.01	54.3	236
VMa	25.72	31.1	−44.4	54.22	305
MMa	48.13	75.28	−8.36	75.74	354
NMa	18.01	0.0	0.0	0.0	0
WMa	95.41	0.0	0.0	0.0	0
RCIE	39.92	58.66	26.98	64.57	25
JCIE	81.26	−2.16	67.76	67.79	92
GCIE	52.23	−42.25	11.76	43.87	164
BCIE	30.57	1.15	−46.84	46.86	271

1,00
0,75
0,50
0,25
0,00

n* = 0,00
n* = 0,25
n* = 0,50
n* = 1,0

Schwarzheit *n**

0,25 0,50 0,75 1,00

relative Buntheit *c**

OG550−7, 5 stufige Reihen für konstanten CIELAB Buntton 306/360 = 0.851 (links)

5 stufige Reihen für konstanten CIELAB Buntton 305/360 = 0.847 (rechts)

Eingabe: Farbmetrisches Fernseh-Licht-System TLS00

für Buntton $h^* = lab^*h = 328/360 = 0.912$ *lab*tch* und *lab*nch*

D65: Buntton M

LCH*Ma: 57 111 328

olv*Ma: 1.0 0.0 1.0

Dreiecks-Helligkeit *t**

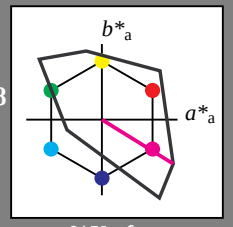

%Umfang

u^*_{rel} = 158

%Regularität

$g^*_{H,rel}$ = 20

$g^*_{C,rel}$ = 37

TLS00; adaptierte CIELAB-Daten

	$L^*=L^*_a$	a^*_a	b^*_a	$C^*_{ab,a}$	$h^*_{ab,a}$
O_{Ma}	50.5	76.92	64.55	100.42	40
Y_{Ma}	92.66	−20.69	90.75	93.08	103
L_{Ma}	83.63	−82.75	79.9	115.04	136
C_{Ma}	86.88	−46.16	−13.55	48.12	196
V_{Ma}	30.39	76.06	−103.59	128.52	306
M_{Ma}	57.3	94.35	−58.41	110.97	328
N_{Ma}	0.01	0.0	0.0	0.0	0
W_{Ma}	95.41	0.0	0.0	0.0	0
R_{CIE}	39.92	58.74	27.99	65.07	25
J_{CIE}	81.26	−2.88	71.56	71.62	92
G_{CIE}	52.23	−42.41	13.6	44.55	162
B_{CIE}	30.57	1.41	−46.46	46.49	272

Ausgabe: Farbmetrisches Offset-Reflektiv-System ORS18

für Buntton $h^* = lab^*h = 354/360 = 0.982$ *lab*tch* und *lab*nch*

D65: Buntton M

LCH*Ma: 48 76 354

olv*Ma: 1.0 0.0 1.0

Dreiecks-Helligkeit *t**

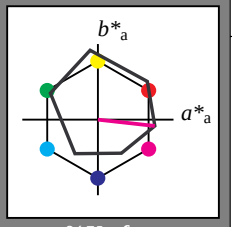

%Umfang

u^*_{rel} = 93

%Regularität

$g^*_{H,rel}$ = 57

$g^*_{C,rel}$ = 59

ORS18; adaptierte CIELAB-Daten

	$L^*=L^*_a$	a^*_a	b^*_a	$C^*_{ab,a}$	$h^*_{ab,a}$
O_{Ma}	47.94	65.39	50.52	82.63	38
Y_{Ma}	90.37	−10.26	91.75	92.32	96
L_{Ma}	50.9	−62.83	34.96	71.91	151
C_{Ma}	58.62	−30.34	−45.01	54.3	236
V_{Ma}	25.72	31.1	−44.4	54.22	305
M_{Ma}	48.13	75.28	−8.36	75.74	354
N_{Ma}	18.01	0.0	0.0	0.0	0
W_{Ma}	95.41	0.0	0.0	0.0	0
R_{CIE}	39.92	58.66	26.98	64.57	25
J_{CIE}	81.26	−2.16	67.76	67.79	92
G_{CIE}	52.23	−42.25	11.76	43.87	164
B_{CIE}	30.57	1.15	−46.84	46.86	271

1,00

0,75

0,25

0,00

$n^* = 0{,}00$

$n^* = 0{,}25$

$n^* = 0{,}50$

$n^* = 1{,}0$

Schwarzheit n^*

0,25 0,50 0,75 1,00

relative Buntheit c^*

OG550−7, 5 stufige Reihen für konstanten CIELAB Buntton 328/360 = 0.912 (links)

5 stufige Reihen für konstanten CIELAB Buntton 354/360 = 0.982 (rechts)

Eingabe: Farbmetrisches Fernseh-Licht-System TLS00

für Buntton *h* = lab*h = 25/360 = 0.071*
*lab*tch* und *lab*nch*

D65: Buntton R
LCH*Ma: 52 89 25
olv*Ma: 1.0 0.0 0.21

Dreiecks-Helligkeit *t**

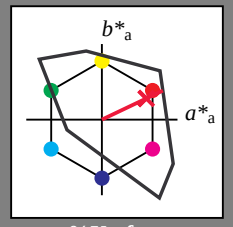

%Umfang

u*$_{rel}$ = 158

TLS00; adaptierte CIELAB-Daten

	L*=L*a	a*a	b*a	C*ab,a	h*ab,a
O_{Ma}	50.5	76.92	64.55	100.42	40
Y_{Ma}	92.66	−20.69	90.75	93.08	103
L_{Ma}	83.63	−82.75	79.9	115.04	136
C_{Ma}	86.88	−46.16	−13.55	48.12	196
V_{Ma}	30.39	76.06	−103.59	128.52	306
M_{Ma}	57.3	94.35	−58.41	110.97	328
N_{Ma}	0.01	0.0	0.0	0.0	0
W_{Ma}	95.41	0.0	0.0	0.0	0
R_{CIE}	39.92	58.74	27.99	65.07	25
J_{CIE}	81.26	−2.88	71.56	71.62	92
G_{CIE}	52.23	−42.41	13.6	44.55	162
B_{CIE}	30.57	1.41	−46.46	46.49	272

%Regularität

g*$_{H,rel}$ = 20

g*$_{C,rel}$ = 37

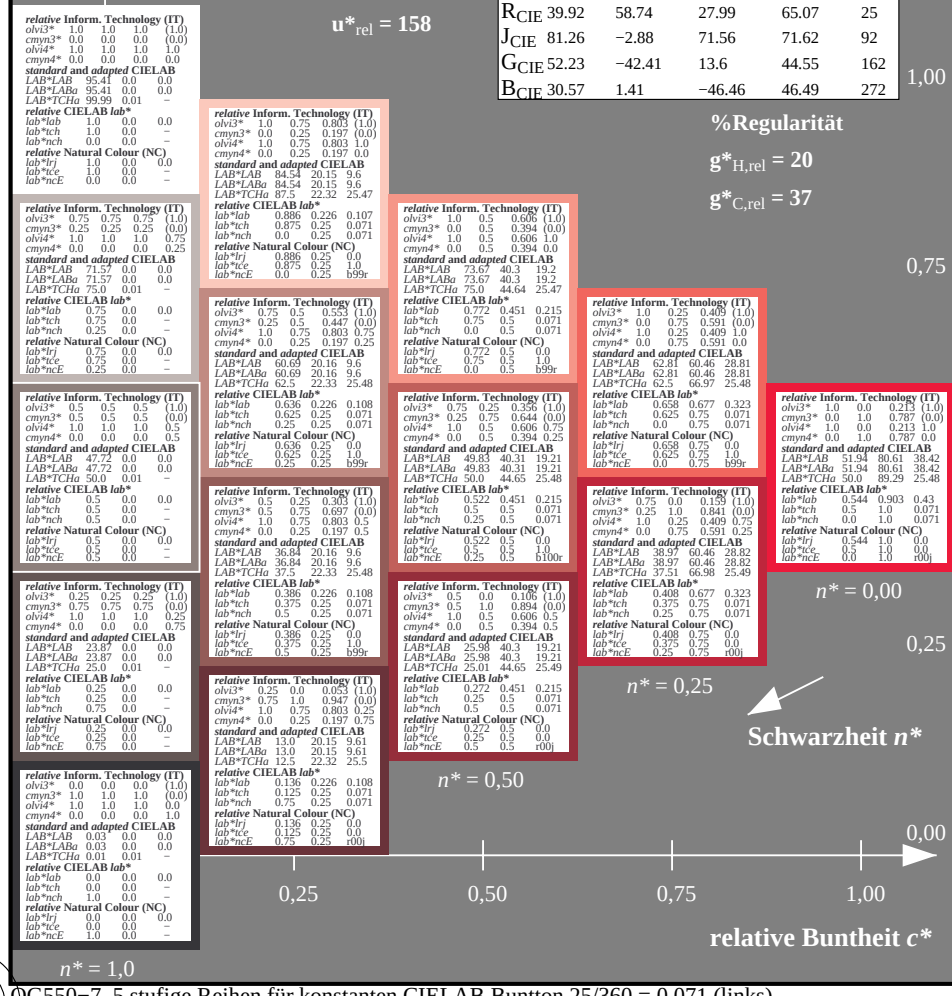

Ausgabe: Farbmetrisches Offset-Reflektiv-System ORS18

für Buntton *h* = lab*h = 25/360 = 0.069*
*lab*tch* und *lab*nch*

D65: Buntton R
LCH*Ma: 48 75 25
olv*Ma: 1.0 0.0 0.32

Dreiecks-Helligkeit *t**

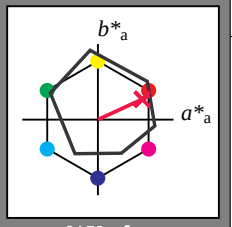

%Umfang

u*$_{rel}$ = 93

ORS18; adaptierte CIELAB-Daten

	L*=L*a	a*a	b*a	C*ab,a	h*ab,a
O_{Ma}	47.94	65.39	50.52	82.63	38
Y_{Ma}	90.37	−10.26	91.75	92.32	96
L_{Ma}	50.9	−62.83	34.96	71.91	151
C_{Ma}	58.62	−30.34	−45.01	54.3	236
V_{Ma}	25.72	31.1	−44.4	54.22	305
M_{Ma}	48.13	75.28	−8.36	75.74	354
N_{Ma}	18.01	0.0	0.0	0.0	0
W_{Ma}	95.41	0.0	0.0	0.0	0
R_{CIE}	39.92	58.66	26.98	64.57	25
J_{CIE}	81.26	−2.16	67.76	67.79	92
G_{CIE}	52.23	−42.25	11.76	43.87	164
B_{CIE}	30.57	1.15	−46.84	46.86	271

%Regularität

g*$_{H,rel}$ = 57

g*$_{C,rel}$ = 59

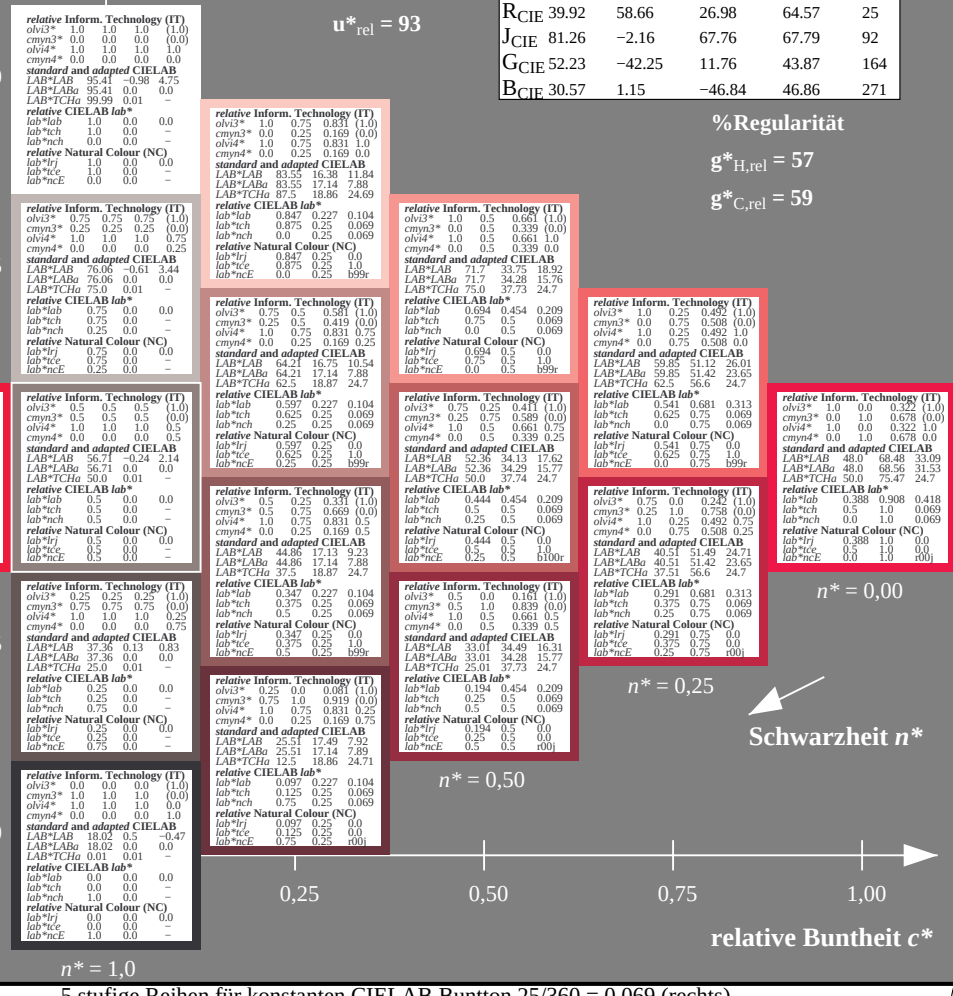

OG550−7, 5 stufige Reihen für konstanten CIELAB Buntton 25/360 = 0.071 (links)

5 stufige Reihen für konstanten CIELAB Buntton 25/360 = 0.069 (rechts)

Eingabe: Farbmetrisches Fernseh-Licht-System TLS00

für Buntton *h* = lab*h = 92/360 = 0.256*
*lab*tch* und *lab*nch*

D65: Buntton J
LCH*Ma: 85 86 92
olv*Ma: 1.0 0.82 0.0

Dreiecks-Helligkeit *t**

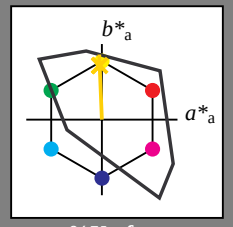

%Umfang
u*rel = 158

%Regularität
g*H,rel = 20
g*C,rel = 37

TLS00; adaptierte CIELAB-Daten

	L*=L*a	a*a	b*a	C*ab,a	h*ab,a
OMa	50.5	76.92	64.55	100.42	40
YMa	92.66	−20.69	90.75	93.08	103
LMa	83.63	−82.75	79.9	115.04	136
CMa	86.88	−46.16	−13.55	48.12	196
VMa	30.39	76.06	−103.59	128.52	306
MMa	57.3	94.35	−58.41	110.97	328
NMa	0.01	0.0	0.0	0.0	0
WMa	95.41	0.0	0.0	0.0	0
RCIE	39.92	58.74	27.99	65.07	25
JCIE	81.26	−2.88	71.56	71.62	92
GCIE	52.23	−42.41	13.6	44.55	162
BCIE	30.57	1.41	−46.46	46.49	272

1,00
0,75
0,25
0,00
n* = 1,0
n* = 0,75
n* = 0,50
n* = 0,25
n* = 0,00
0,25
0,50
0,75
1,00
Schwarzheit *n**
relative Buntheit *c**

Ausgabe: Farbmetrisches Offset-Reflektiv-System ORS18

für Buntton *h* = lab*h = 92/360 = 0.255*
*lab*tch* und *lab*nch*

D65: Buntton J
LCH*Ma: 86 88 92
olv*Ma: 1.0 0.9 0.0

Dreiecks-Helligkeit *t**

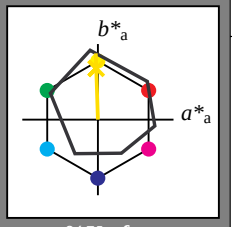

%Umfang
u*rel = 93

%Regularität
g*H,rel = 57
g*C,rel = 59

ORS18; adaptierte CIELAB-Daten

	L*=L*a	a*a	b*a	C*ab,a	h*ab,a
OMa	47.94	65.39	50.52	82.63	38
YMa	90.37	−10.26	91.75	92.32	96
LMa	50.9	−62.83	34.96	71.91	151
CMa	58.62	−30.34	−45.01	54.3	236
VMa	25.72	31.1	−44.4	54.22	305
MMa	48.13	75.28	−8.36	75.74	354
NMa	18.01	0.0	0.0	0.0	0
WMa	95.41	0.0	0.0	0.0	0
RCIE	39.92	58.66	26.98	64.57	25
JCIE	81.26	−2.16	67.76	67.79	92
GCIE	52.23	−42.25	11.76	43.87	164
BCIE	30.57	1.15	−46.84	46.86	271

1,00
0,75
0,25
0,00
n* = 1,0
n* = 0,75
n* = 0,50
n* = 0,25
n* = 0,00
0,25
0,50
0,75
1,00
Schwarzheit *n**
relative Buntheit *c**

OG550−7, 5 stufige Reihen für konstanten CIELAB Buntton 92/360 = 0.256 (links)

5 stufige Reihen für konstanten CIELAB Buntton 92/360 = 0.255 (rechts)

BAM-Prüfvorlage OG55; Farbmetrik-Systeme ORS18 & ORS18
D65: 2 Koordinatendaten von 5stufigen Farbreihen für 10 Buntt

input: *cmy0* setcmykcolor*
output: *Startup (S) data dependend*

Eingabe: Farbmetrisches Fernseh-Licht-System TLS00

für Buntton *h* = lab*h = 162/360 = 0.451*
*lab*tch* und *lab*nch*

D65: Buntton G
LCH*Ma: 86 62 162
olv*Ma: 0.0 1.0 0.65

Dreiecks-Helligkeit *t**

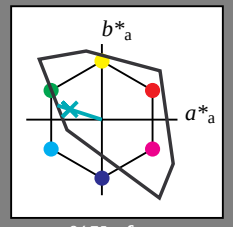

%Umfang
u*$_{rel}$ = 158

%Regularität
g*$_{H,rel}$ = 20
g*$_{C,rel}$ = 37

TLS00; adaptierte CIELAB-Daten

	L*=L*$_a$	a*$_a$	b*$_a$	C*$_{ab,a}$	h*$_{ab,a}$
O$_{Ma}$	50.5	76.92	64.55	100.42	40
Y$_{Ma}$	92.66	−20.69	90.75	93.08	103
L$_{Ma}$	83.63	−82.75	79.9	115.04	136
C$_{Ma}$	86.88	−46.16	−13.55	48.12	196
V$_{Ma}$	30.39	76.06	−103.59	128.52	306
M$_{Ma}$	57.3	94.35	−58.41	110.97	328
N$_{Ma}$	0.01	0.0	0.0	0.0	0
W$_{Ma}$	95.41	0.0	0.0	0.0	0
R$_{CIE}$	39.92	58.74	27.99	65.07	25
J$_{CIE}$	81.26	−2.88	71.56	71.62	92
G$_{CIE}$	52.23	−42.41	13.6	44.55	162
B$_{CIE}$	30.57	1.41	−46.46	46.49	272

Ausgabe: Farbmetrisches Offset-Reflektiv-System ORS18

für Buntton *h* = lab*h = 164/360 = 0.457*
*lab*tch* und *lab*nch*

D65: Buntton G
LCH*Ma: 53 57 164
olv*Ma: 0.0 1.0 0.25

Dreiecks-Helligkeit *t**

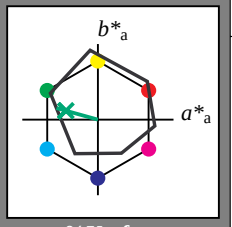

%Umfang
u*$_{rel}$ = 93

%Regularität
g*$_{H,rel}$ = 57
g*$_{C,rel}$ = 59

ORS18; adaptierte CIELAB-Daten

	L*=L*$_a$	a*$_a$	b*$_a$	C*$_{ab,a}$	h*$_{ab,a}$
O$_{Ma}$	47.94	65.39	50.52	82.63	38
Y$_{Ma}$	90.37	−10.26	91.75	92.32	96
L$_{Ma}$	50.9	−62.83	34.96	71.91	151
C$_{Ma}$	58.62	−30.34	−45.01	54.3	236
V$_{Ma}$	25.72	31.1	−44.4	54.22	305
M$_{Ma}$	48.13	75.28	−8.36	75.74	354
N$_{Ma}$	18.01	0.0	0.0	0.0	0
W$_{Ma}$	95.41	0.0	0.0	0.0	0
R$_{CIE}$	39.92	58.66	26.98	64.57	25
J$_{CIE}$	81.26	−2.16	67.76	67.79	92
G$_{CIE}$	52.23	−42.25	11.76	43.87	164
B$_{CIE}$	30.57	1.15	−46.84	46.86	271

1,00
0,75
0,25
0,00
n* = 1,0
n* = 0,50
n* = 0,25
n* = 0,00
0,25
0,50
0,75
1,00
Schwarzheit *n**
relative Buntheit *c**

OG550−7, 5 stufige Reihen für konstanten CIELAB Buntton 162/360 = 0.451 (links)
5 stufige Reihen für konstanten CIELAB Buntton 164/360 = 0.457 (rechts)

BAM-Prüfvorlage OG55; Farbmetrik-Systeme ORS18 & ORS18
D65: 2 Koordinatendaten von 5stufigen Farbreihen für 10 Buntt öne

input: *cmy0* setcmykcolor*
output: *Startup (S) data dependend*

Eingabe: Farbmetrisches Fernseh-Licht-System TLS00

für Buntton *h* = lab*h = 272/360 = 0.755*
*lab*tch* und *lab*nch*

D65: Buntton B
LCH*Ma: 65 49 272
olv*Ma: 0.0 0.61 1.0

Dreiecks-Helligkeit *t**

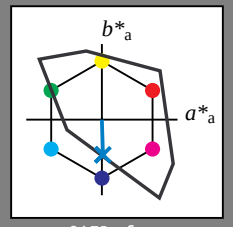

%Umfang
u*$_{rel}$ = 158

%Regularität
g*$_{H,rel}$ = 20
g*$_{C,rel}$ = 37

TLS00; adaptierte CIELAB-Daten

	L*=L*$_a$	a*$_a$	b*$_a$	C*$_{ab,a}$	h*$_{ab,a}$
O$_{Ma}$	50.5	76.92	64.55	100.42	40
Y$_{Ma}$	92.66	−20.69	90.75	93.08	103
L$_{Ma}$	83.63	−82.75	79.9	115.04	136
C$_{Ma}$	86.88	−46.16	−13.55	48.12	196
V$_{Ma}$	30.39	76.06	−103.59	128.52	306
M$_{Ma}$	57.3	94.35	−58.41	110.97	328
N$_{Ma}$	0.01	0.0	0.0	0.0	0
W$_{Ma}$	95.41	0.0	0.0	0.0	0
R$_{CIE}$	39.92	58.74	27.99	65.07	25
J$_{CIE}$	81.26	−2.88	71.56	71.62	92
G$_{CIE}$	52.23	−42.41	13.6	44.55	162
B$_{CIE}$	30.57	1.41	−46.46	46.49	272

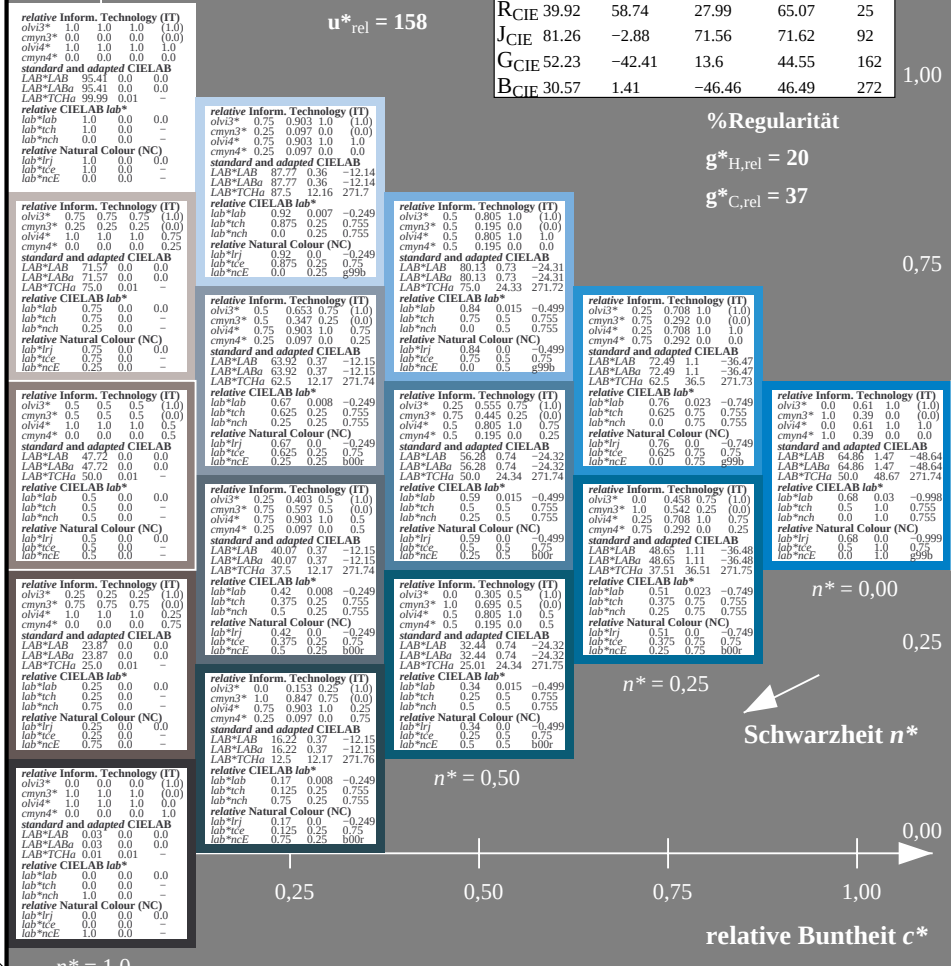

OG550−7, 5 stufige Reihen für konstanten CIELAB Buntton 272/360 = 0.755 (links)

Ausgabe: Farbmetrisches Offset-Reflektiv-System ORS18

für Buntton *h* = lab*h = 271/360 = 0.754*
*lab*tch* und *lab*nch*

D65: Buntton B
LCH*Ma: 42 45 271
olv*Ma: 0.0 0.49 1.0

Dreiecks-Helligkeit *t**

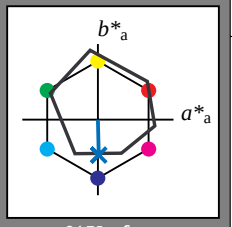

%Umfang
u*$_{rel}$ = 93

%Regularität
g*$_{H,rel}$ = 57
g*$_{C,rel}$ = 59

ORS18; adaptierte CIELAB-Daten

	L*=L*$_a$	a*$_a$	b*$_a$	C*$_{ab,a}$	h*$_{ab,a}$
O$_{Ma}$	47.94	65.39	50.52	82.63	38
Y$_{Ma}$	90.37	−10.26	91.75	92.32	96
L$_{Ma}$	50.9	−62.83	34.96	71.91	151
C$_{Ma}$	58.62	−30.34	−45.01	54.3	236
V$_{Ma}$	25.72	31.1	−44.4	54.22	305
M$_{Ma}$	48.13	75.28	−8.36	75.74	354
N$_{Ma}$	18.01	0.0	0.0	0.0	0
W$_{Ma}$	95.41	0.0	0.0	0.0	0
R$_{CIE}$	39.92	58.66	26.98	64.57	25
J$_{CIE}$	81.26	−2.16	67.76	67.79	92
G$_{CIE}$	52.23	−42.25	11.76	43.87	164
B$_{CIE}$	30.57	1.15	−46.84	46.86	271

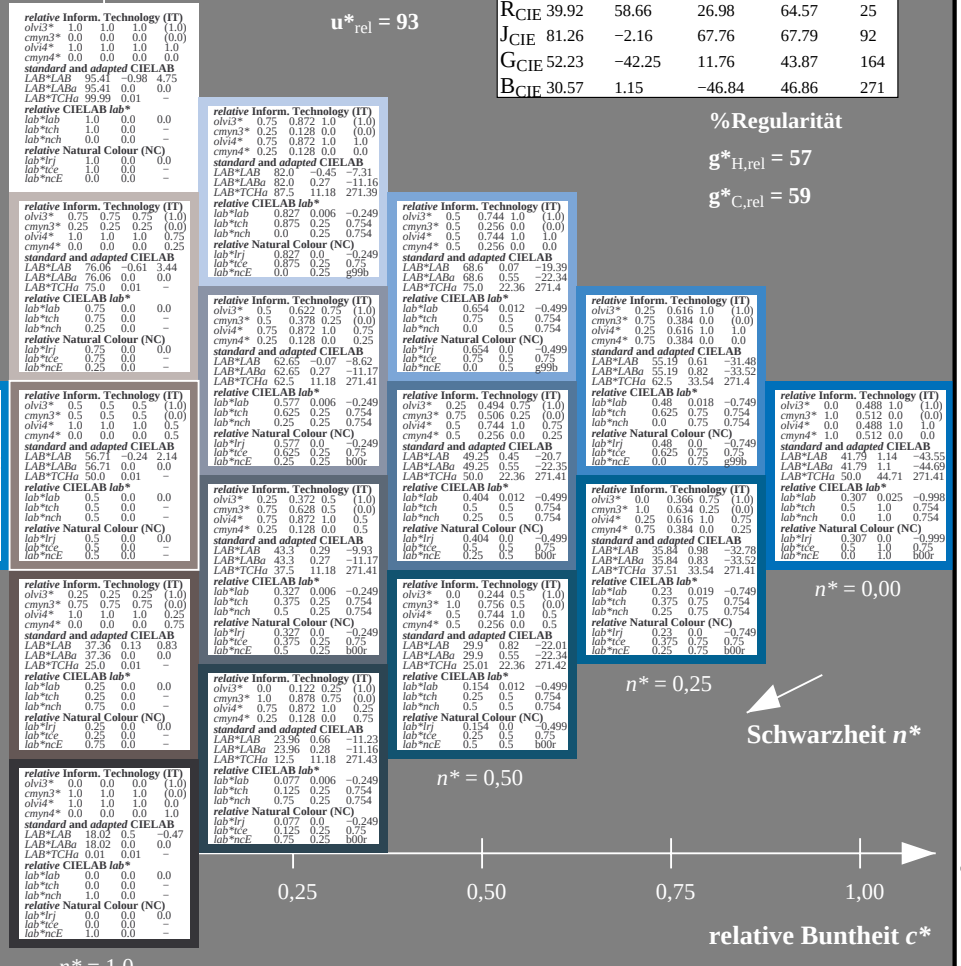

5 stufige Reihen für konstanten CIELAB Buntton 271/360 = 0.754 (rechts)